

The effect of resveratrol on changes of oxidative stress factors induced by rotenone in hippocampus of ovariectomized rats

Aghagolzadeh M¹, Moazedi AA², Najafzadehvarzi H^{2*}, Parsian H²

1- Department of Biology, Faculty of Basic Sciences, University of Shahid Chamran of Ahvaz, Ahvaz, I.R. Iran.

2- Cellular and Molecular Biology Research Center, Health Research Institute, Babol University of Medical Sciences, Babol, I.R. Iran.

Received: 2023/01/1 | Accepted: 2023/04/17

Abstract:

Background: Rotenone as a pesticide, damages the nervous system by oxidative stress. According to the published articles that reported the protective role of estrogen in the nervous system and resveratrol against oxidative stress, in this study, the protective effect of resveratrol was evaluated on oxidative stress factors induced by rotenone in hippocampus at present and absence of estrogen in female ovariectomized rats.

Materials and Methods: Forty-eight female rats were respectively divided groups and treated with saline, rotenone, ovariectomized, resveratrol, ovariectomized+rotenone, ovariectomized+resveratrol, rotenone+resveratrol and ovariectomized+rotenone+resveratrol. Rotenone was administrated intraperitoneally and resveratrol was given orally every day for 21 days. At the end of experiment, malondialdehyde and glutathione level, catalase, and glutathione peroxidase activity in hippocampus were evaluated. Also, estrogen and progesterone in serum were measured.

Results: Rotenone significantly decreased estrogen and progesterone. Furthermore, glutathione level and glutathione peroxidase and catalase activity reduced, while malondialdehyde significantly increased. Although, estrogen and progesterone and glutathione and catalase significantly decreased in ovariectomized group, but malondialdehyde significantly increased. Resveratrol could significantly increase estrogen and progesterone in resveratrol+rotenone and resveratrol+ovariectomized groups. It significantly increased glutathione, glutathione peroxidase and catalase in the intact ovariectomized rats that received rotenone, while reduced malondialdehyde in the rotenone, ovariectomized and ovariectomized+rotenone groups were observed.

Conclusion: Resveratrol was able to reduce the oxidative stress which induced by rotenone and absence of estrogen in the hippocampal tissue of rats.

Keywords: Resveratrol, Rotenone, Oxidative stress, Hippocampus, Ovariectomized rat

***Corresponding Author**

Email: najafzadehvarzi@yahoo.com

Tel: 0098 113 219 9592

Fax: 0098 113 219 0181

Conflict of Interests: *No*

Feyz, Journal of Kashan University of Medical Sciences, June, 2023; Vol. 27, No 2, Pages 118-130

Please cite this article as: Aghagolzadeh M, Moazedi AA, Najafzadehvarzi H, Parsian H. The effect of resveratrol on changes of oxidative stress factors induced by rotenone in hippocampus of ovariectomized rats. *Feyz* 2023; 27(2): 118-30.

اثر رسوراترول بر تغییر فاکتورهای استرس اکسیداتیو القا شده توسط روتنون در هیپوکامپ رت‌های اوارکتومی شده

محبوبه آقاگل‌زاده^۱، احمدعلی معاضدی^۲، حسین نجف‌زاده^{۳*}، هادی پارسیان^۴

خلاصه:

سابقه و هدف: روتنون به‌عنوان آفت‌کش، به‌واسطه استرس اکسیداتیو به سیستم عصبی آسیب می‌رساند. با توجه به نقش محافظتی استروژن در سیستم عصبی و اثرات محافظتی رسوراترول در برابر استرس اکسیداتیو، در این مطالعه نقش حفاظتی رسوراترول بر تغییر فاکتورهای استرس اکسیداتیو ناشی از روتنون در هیپوکامپ در حضور و عدم حضور استروژن در موش‌های ماده اوارکتومی شده و سالم مورد بررسی قرار گرفت.

مواد و روش‌ها: ۴۸ سر موش صحرایی ماده به ۸ گروه ۶ تایی شامل کنترل (سالمین)، روتنون، اوارکتومی، رسوراترول، اوارکتومی + روتنون، اوارکتومی + رسوراترول، روتنون + رسوراترول و اوارکتومی + روتنون + رسوراترول تقسیم شدند. روتنون به‌صورت داخل صفاقی و رسوراترول به‌صورت خوراکی مدت ۲۱ روز تجویز شد. در پایان، مقدار مالون‌دی‌آلدنید و گلوتاتیون، فعالیت کاتالاز و گلوتاتیون پراکسیداز در هیپوکامپ و استروژن و پروژسترون در سرم اندازه‌گیری شد.

نتایج: روتنون به‌طور معنی‌داری سطح استروژن و پروژسترون و گلوتاتیون و فعالیت گلوتاتیون پراکسیداز و کاتالاز را کاهش داد و مالون‌دی‌آلدنید را به‌طور معنی‌داری افزایش داد. استروژن و پروژسترون و گلوتاتیون و کاتالاز در گروه اوارکتومی به‌طور معنی‌داری کاهش و مالون‌دی‌آلدنید به‌طور معنی‌داری افزایش یافت. رسوراترول، استروژن و پروژسترون را در گروه‌های رسوراترول + روتنون و رسوراترول + اوارکتومی به‌طور قابل‌توجهی افزایش داد و نیز گلوتاتیون، گلوتاتیون پراکسیداز و کاتالاز را در موش‌های اوارکتومی + روتنون + رسوراترول، به‌طور قابل‌توجهی بالا برد. همچنین رسوراترول، به‌طور قابل‌توجهی مالون‌دی‌آلدنید را در گروه روتنون، اوارکتومی و اوارکتومی + روتنون کاهش داد.

نتیجه‌گیری: رسوراترول، استرس اکسیداتیو ناشی از روتنون و عدم وجود استروژن را در هیپوکامپ موش‌ها کاهش داد.

واژگان کلیدی: رسوراترول، روتنون، استرس اکسیداتیو، هیپوکامپ، اوارکتومی

دوماه‌نامه علمی - پژوهشی فیض، دوره بیست و هفتم، شماره ۲، خرداد - تیر ۱۴۰۲، صفحات ۱۳۰-۱۱۸

مقدمه

روتنون با مهار کمپلکس I میتوکندری و افزایش تولید رادیکال‌های آزاد منجر به استرس اکسیداتیو سلولی می‌گردد. علاوه بر این روتنون از طریق سرکوب مسیر سیگنالینگ Nrf2 و بیان ژن هدف آن منجر به کاهش آنزیم‌های آنتی‌اکسیدانی می‌گردد که نهایتاً منجر به تشدید استرس اکسیداتیو می‌شود [۳]. استرس اکسیداتیو اصلی‌ترین عامل پاتولوژی در تشدید و پیشرفت بسیاری از اختلالات عصبی است که با عدم تعادل بین پرواکسیدان و آنتی‌اکسیدان‌ها منجر به مرگ سلول‌های عصبی می‌شود [۴]. در مطالعه‌ای Fikry و همکارانش نشان دادند که روتنون به واسطه افزایش مالون‌دی‌آلدنید به‌عنوان پارامتر اکسیداتیو و کاهش پارامترهای آنتی‌اکسیدانی گلوتاتیون و سوپراکسید دیسموتاز، منجر به نورودژنراتیو می‌شود [۵]. همچنین مطالعه‌ای دیگر نشان داد که در مدل‌های حیوانی روتنون، سطح بالایی از پروتئین‌های کربونیل و مارکر اکسیداسیون پروتئین‌ها در مناطق مختلف مغز مشاهده شده است [۶]. مطالعات اولیه نشان دادند که استروژن فقط در تنظیم چرخه‌های قاعدگی و رفتار جنسی نقش دارد، اما امروزه واضح شده است که استروژن بر عملکردهای عصبی نیز تأثیر می‌گذارد [۷-۱۰]. همچنین مطالعه اپیدمیولوژیک نشان داده

اگرچه آفت‌کش‌ها به‌عنوان ابزاری ضروری برای کنترل آفات در کشاورزی به‌کار می‌روند، اما شواهد نشان می‌دهند که قرارگرفتن در معرض آفت‌کش‌های محیطی مانند روتنون با بسیاری از اختلالات عصبی و رفتاری بیماری‌های نورودژنراتیو مانند پارکینسون مرتبط است [۱-۳].

۱. دانشجوی دکترای فیزیولوژی، گروه زیست‌شناسی، دانشکده علوم، دانشگاه شهید چمران اهواز، اهواز
۲. استاد، گروه زیست‌شناسی، دانشکده علوم، دانشگاه شهید چمران اهواز، اهواز، ایران
۳. استاد، گروه فارماکولوژی، دانشکده پزشکی، دانشگاه علوم پزشکی بابل، بابل، ایران
۴. استاد، مرکز تحقیقات زیست‌شناسی سلولی و مولکولی، پژوهشکده بهداشت، دانشگاه علوم پزشکی بابل، بابل، ایران

* نشانی نویسنده مسئول:

بابل، دانشگاه علوم پزشکی بابل، دانشکده پزشکی

تلفن: ۰۱۱۳۲۱۹۹۵۹۲ | دورنویس: ۰۱۱۳۲۱۹۰۱۸۱

پست الکترونیک: h.najafzadeh@mubabol.ac.ir

تاریخ دریافت: ۱۴۰۱/۱۰/۱۱ | تاریخ پذیرش نهایی: ۱۴۰۲/۱/۲۸

بهبود می‌بخشید [۲۸]. Xia و همکاران نشان دادند که درمان با رسوراترول منجر به تنظیم افزایشی چندین آنزیم آنتی‌اکسیدانی از جمله SOD، GPx و CAT و تنظیم کاهش‌ی NADPH اکسیداز شده و باعث کاهش سطح سوپراکسید و اکسیداتیو در مدل آپولیپوپروتئین E گردید [۲۹]. همان‌طور که در بالا ذکر شد، هم‌پوشانی در مسیر عملکردی استروژن و رسوراترول به‌طور بالقوه اثرات سودمندی را در اختلالات عصبی اعمال می‌کند. مطالعه حاضر تأثیر برهمکنش استروژن و رسوراترول را بر استرس اکسیداتیو ناشی از روتنون در هیپوکامپ موش‌های سالم و اوارکتومی بررسی می‌کند.

مواد و روش‌ها

حیوانات

در این تحقیق از ۴۸ سر موش صحرایی ماده نژاد ویستار تهیه‌شده از مرکز آزمایشگاهی حیوانات دانشگاه علوم پزشکی بابل (بابل، ایران) به وزن تقریبی 170 ± 20 گرم استفاده شد. حیوانات در شرایط استاندارد (۱۲ ساعت روشنایی و ۱۲ ساعت تاریکی، دسترسی آسان به آب و غذا دمای اتاق ۲۵-۲۰ درجه سانتی‌گراد) نگهداری شدند. کلیه مراحل مطابق با دستور کمیته اخلاقی آزمایش‌های حیوانی دانشگاه شهید چمران اهواز با کد اخلاق: EE/1400/3/02/10568/scu.ac.ir انجام گرفت.

گروه‌بندی

موش‌ها به‌طور تصادفی به ۸ گروه و هر گروه شامل ۶ سر موش تقسیم شدند: گروه کنترل (C) (دریافت سالیین)، گروه روتنون (R) تزریق داخل‌صفافی ۵ میلی‌گرم بر کیلوگرم روتنون (سیگما آلدریج)، گروه رسوراترول (Res) (دریافت ۴۰ میلی‌گرم بر کیلوگرم رسوراترول به صورت گاواژ)، گروه اوارکتومی (دو طرفه) (OVX)، گروه اوارکتومی + رسوراترول (OVX + Res)، گروه روتنون + رسوراترول (R+Res)، گروه اوارکتومی + روتنون (OVX+R) و گروه اوارکتومی + روتنون + رسوراترول (OVX+R+Res). داروها روزانه به مدت ۳ هفته تجویز شدند. در پایان، موش‌ها با تزریق داخل‌صفافی کتامین ۸۰ میلی‌گرم بر کیلوگرم و زایلازین ۵ میلی‌گرم بر کیلوگرم (آلفاسان هلند) بی‌هوش شدند. خونگیری از قلب انجام و سرم جدا شد. نمونه‌های بافت هیپوکامپ هموژنیزه و سانتریفیوژ شدند و مایع رویی برای انجام تست استرس اکسیداتیو و آنتی‌اکسیدانی جمع‌آوری و در دمای ۸۰- نگهداری شد (شکل ۱).

جراحی اوارکتومی

تخمندان موش‌ها بعد از بیهوشی، توسط برش کوچکی در ناحیه میانی تحتانی شکم، خارج و انتهای لوله‌های فالوپ با استفاده

است که بروز اختلالات عصبی چون پارکینسون در مردان بیشتر از زنان است، که این موضوع نشان‌دهنده تأثیر محافظتی هورمون جنسی زنانه استروژن است [۱۱]. استروژن با فعال‌کردن چندین پاسخ محافظت‌کننده عصبی - مولکولی و سلولی، نقش مهمی در عملکردهای عصبی از جمله یادگیری و حافظه دارد و حذف آن به‌شدت با شرایط تخریب عصبی مرتبط است [۱۲]. همچنین نشان داده شده است که با کاهش استروژن در دوره‌ی یائسگی، خطر ابتلا به بیماری‌های عصبی در زنان افزایش می‌یابد [۱۳]. Luine در مطالعه خود استروژن را به‌عنوان عامل تنظیم‌کننده در حافظه به‌واسطه افزایش تراکم خارهای دندریتی در هیپوکامپ معرفی کرد [۱۴]. علاوه بر این، استروژن آنزیم‌های آنتی‌اکسیدانی میتوکندری را فعال و تولید رادیکال‌های آزاد را مهار می‌کند [۱۵]. مطالعه‌ای دیگر نشان داده است که، استروژن اثرات بالقوه‌ای در بهبود عملکرد شناختی و حفاظت اکسیداتیو در مدل حیوانی بیماری آلزایمر دارد [۱۶]. همچنین بررسی دیگر بیان کرد که استروژن‌درمانی به‌طور قابل‌توجهی، تشدید و پیشرفت بیماری آلزایمر را در زنان یائسه کاهش داد [۱۷]. استروژن اثرات آنتی‌اکسیدانی، ضدآپوپتوز و ضدآلت‌هایی در برابر تخریب عصبی را از طریق فعال‌کردن چندین مسیر درون‌سلولی اعمال می‌کند و در نتیجه بر رونویسی ژن‌های هدف محافظت‌کننده عصبی در مغز تأثیر می‌گذارد [۱۸، ۱۰]. اگرچه استروژن‌درمانی در چند دهه اخیر مورد استفاده قرار گرفته است اما شواهد نشان می‌دهد که خطر ابتلا به برخی بیماری‌ها به‌عنوان مثال، بیماری‌های قلبی-عروقی، سرطان سینه و غیره برای زنان با مصرف طولانی‌مدت استروژن افزایش یافته است [۱۹، ۲۰]. رسوراترول، ترکیب پلی‌فنولی با منشأ گیاهی است که در بسیاری از گونه‌های گیاهی مانند توت، بادام‌زمینی و انگور یافت می‌شود و با عبور از سدّ خونی مغزی از بروز اختلال ردوکس در مغز جلوگیری می‌کند [۲۵-۲۱]. بسیاری از مطالعات نشان دادند که رسوراترول می‌تواند منجر به جلوگیری و یا کندشدن پیشرفت اختلالات نورودژنراتیو شود [۲۳، ۲۶، ۲۷]. در مطالعه‌ای نشان داده شده است که رسوراترول از طریق کاهش استرس اکسیداتیو به‌واسطه فعال‌سازی مسیر سیگنالینگ SIRT1/Akt، منجر به سرکوب سمیت عصبی القاشده توسط روتنون می‌شود و اثر محافظت‌کننده عصبی دارد [۲۷]. در مطالعه اخیر که توسط Zhang و همکارانش انجام شد، بر نقش رسوراترول در یادگیری و حافظه در موش‌های صحرایی مبتلا به زوال عقل عروقی (VD) تأکید و نشان داده شد که رسوراترول با کاهش مقدار MDA، بیان Bax و caspase-3 و افزایش بیان SOD و Bcl-2 هیپوکامپی به‌واسطه مهار آپوپتوز و استرس اکسیداتیو، به‌طور قابل‌توجهی یادگیری فضایی و حافظه موش‌های صحرایی VD را

سطح پلیت با برجسب پوشانده شد و به مدت ۶۰ دقیقه در دمای اتاق انکوبه گردید. سپس محتویات پلیت، تخلیه و چاهک‌ها با ۳۰۰ میکرولیتر از محلول شستشوی آماده، شسته شدند. عملیات فوق ۳ بار تکرار شد. ۱۰۰ میکرولیتر محلول رنگزا به تمام چاهک‌ها اضافه شد و سپس پلیت به مدت ۲۰ دقیقه در دمای اتاق در محیط تاریک انکوبه شد. ۵۰ میکرولیتر محلول متوقف‌کننده واکنش به همه چاهک‌ها اضافه و سپس پلیت به مدت ۲۰ ثانیه به آرامی تکان داده شد و جذب در طول موج ۴۵۰ نانومتر (با طول موج رفرنس ۶۳۰ نانومتر) خوانده شد.

تعیین استرس اکسیداتیو و عوامل آنتی‌اکسیدانی

هموژن کردن بافت مغز

جهت هموژن کردن بافت مغز با استفاده از ترازو بافت هیپوکمپ وزن شد و به میزان سه برابر وزن نمونه به آن بافرسفات سالین اضافه شد. سپس با استفاده از دستگاه هموژنایزر با دور ۱۲۰ به مدت ۲۰ ثانیه بافت‌ها هموژن شدند، سپس مایع رویی با استفاده از دستگاه سانتریفیوژ یخچال‌دار، به مدت ۱۵ دقیقه در دمای ۴ درجه سانتی‌گراد با دور ۱۳۰۰۰ جدا شد و تا زمان انجام آزمایش در یخچال ۸۰- درجه سانتی‌گراد نگهداری گردید.

فعالیت آنزیم کاتالاز

بررسی میزان فعالیت آنزیم کاتالاز در بافت هیپوکمپ براساس دستورالعمل ذکر شده در کیت سنجش کاتالاز که از شرکت طب‌پژوهان رازی خریداری شده بود، انجام شد. به صورت خلاصه این کیت فعالیت CAT را از طریق واکنش کاتالاز موجود در نمونه با متانول در حضور غلظت بهینه H₂O₂ برای تولید فرمالدئید اندازه‌گیری می‌کند. تشکیل فرمالدئید با استفاده از کروموزنی که آلدئیدها را ارغوانی می‌کند به صورت رنگ‌سنجی در طول موج ۵۴۰ تعیین می‌شود. فعالیت آنزیم کاتالاز به روش زیر انجام شد: ابتدا ۱۰۰ میکرولیتر از معرف Assay Buffer، ۳۰ میکرولیتر متانول و ۲۰ میکرولیتر از محلول استاندارد به چاهک کنترل اضافه شد. در مرحله دوم، ۱۰۰ میکرولیتر از معرف Assay Buffer، ۳۰ میکرولیتر متانول و ۲۰ میکرولیتر نمونه به چاهک نمونه‌ها اضافه گردید. ۲۰ میکرولیتر معرف پراکسید هیدروژن به همه چاهک‌ها اضافه شد و به مدت ۲۰ دقیقه روی شیکر در دمای اتاق قرار گرفتند. در نهایت ۳۰ میکرولیتر معرف Stopper و ۳۰ میکرولیتر معرف کروموزنیک به هر چاهک اضافه شد و به مدت ۵ دقیقه روی شیکر در دمای اتاق قرار گرفتند و میزان جذب در طول موج ۵۴۰ نانومتر خوانده شد.

مقدار مالون دی‌آلدید

اندازه‌گیری مقدار MDA در بافت هیپوکمپ براساس

از نخ بخیه به طور کامل بسته شد. دوره ریکاوری پس از بخیه فاشیا، عضلات و پوست، به مدت ده روز سپری شد.

نمونه‌گیری خون از قلب موش صحرایی

پس از آخرین تزریق، خونگیری از قلب موش‌ها انجام شد.

تعیین مقدار استرادیول (E2) سرم

سنجش میزان استرادیول در سرم خون براساس دستورالعمل ذکر شده در کیت سنجش استرادیول که از شرکت سامان تجهیز نور خریداری شده بود، انجام گرفت. به صورت خلاصه این آزمایش براساس الایزای رقابتی طراحی شده است و بی‌حرکت‌سازی کمپلکس ایمنی توسط واکنش بین استرپتاویدین تثبیت شده در سطح چاهک و آنتی‌بادی بیوتینیل مونوکلونال ضد استرادیول صورت می‌گیرد. اندازه‌گیری مقدار E2 به صورت خلاصه به روش زیر انجام شد: ابتدا ۲۵ میکرولیتر نمونه و استاندارد به داخل چاهک اضافه شد. ۵۰ میکرولیتر محلول کونژوگ بیوتین E2 به همه چاهک‌ها اضافه شدند و پلیت به مدت ۳۰ ثانیه روی سطح میز تکان داده شد و سطح آن با چسب پوشانده شده و به مدت ۳۰ دقیقه در دمای اتاق انکوبه گردید. ۵۰ میکرولیتر محلول کونژوگ آنزیم E2 به تمام چاهک‌ها اضافه شد. سپس سطح آن را با چسب پوشانده و به مدت ۹۰ دقیقه در دمای اتاق انکوبه کرده و محتویات داخل پلیت خالی شدند. ۳۵۰ میکرولیتر از محلول شستشو به چاهک‌ها اضافه و سپس تخلیه شد. عملیات فوق ۳ بار تکرار گردید. ۱۰۰ میکرولیتر از محلول سوپسترا به تمام چاهک‌ها اضافه و سپس پلیت به مدت ۲۰ دقیقه در دمای اتاق در محیط تاریک انکوبه شد. ۵۰ میکرولیتر از محلول سوپسترا به تمام چاهک‌ها اضافه و پلیت به مدت ۲۰ ثانیه به آرامی تکان داده شد. در نهایت، جذب در طول موج ۴۵۰ نانومتر (با طول موج مرجع ۶۳۰ نانومتر) خوانده شد.

تعیین مقدار پروژسترون سرم

سنجش میزان پروژسترون در سرم خون براساس دستورالعمل ذکر شده در کیت سنجش پروژسترون که از شرکت ایده‌آل تشخیص آتیه خریداری شده بود، انجام گردید. به صورت خلاصه این آزمایش براساس الایزای رقابتی طراحی شده است و بی‌حرکت‌سازی کمپلکس ایمنی توسط واکنش بین استرپتاویدین تثبیت شده در سطح چاهک و آنتی‌بادی بیوتینیل مونوکلونال ضد استرادیول صورت می‌گیرد. اندازه‌گیری مقدار پروژسترون به روش زیر انجام شد: ابتدا ۲۵ میکرولیتر از نمونه و کالیبراتور داخل پلیت ریخته شدند. ۵۰ میکرولیتر محلول کونژوگ آنزیمی به تمام چاهک‌ها اضافه و سپس پلیت به مدت ۳۰ ثانیه روی سطح میز تکان داده شد. ۵۰ میکرولیتر محلول کونژوگ بیوتین نیز به تمام چاهک‌ها اضافه و سپس پلیت به مدت ۳۰ ثانیه روی سطح میز تکان داده و

می‌شود که در طول موج ۴۰۵ نانومتر قابل اندازه‌گیری است. اندازه‌گیری مقدار GSH به روش زیر انجام شد: ابتدا ۱۰ میکرولیتر از نمونه یا استاندارد، به چاهک‌ها اضافه شد. سپس ۱۰ میکرولیتر از Lysis buffer به‌عنوان بلانک، به چاهک بلانک اضافه گردید. پس از آن ۲۰۰ میکرولیتر محلول کاری تیول (۲ میکرولیتر معرف تیول + ۱۹۸ میکرولیتر بافر تیول) به هر چاهک اضافه و پلیت به‌خوبی تکان داده شد و سپس به‌مدت ۱۵ دقیقه در دمای اتاق انکوبه گردید. درنهایت، جذب در طول موج ۴۰۵ نانومتر خوانده شد.

سنجش غلظت پروتئین

سنجش پروتئین در بافت هیپوکمپ براساس دستورالعمل ذکرشده در کیت سنجش پروتئین به روش برادفورد که از شرکت طب‌پژوهان رازی خریداری شده بود، انجام شد. در این روش از تغییر رنگ Coomassie هنگام اتصال به پروتئین در محیط اسیدی استفاده می‌شود. اندازه‌گیری پروتئین به روش زیر انجام شد: ۱۰ میکرولیتر نمونه / استاندارد (BSA) به چاهک اضافه شد. ۱۹۰ میکرولیتر معرف TPB به همه چاهک‌ها اضافه و به مدت ۵ دقیقه در دمای اتاق انکوبه گردید. درنهایت، بلافاصله جذب در طول موج ۵۹۵ نانومتر خوانده شد.

تحلیل آماری

داده‌های حاصل از سنجش‌های بیوشیمیایی در نرم‌افزار IBM SPSS Statistics 20 با آنالیز One-way Anova (تست LSD) بررسی شدند و سطح معنی‌دار آزمون‌ها $P < 0.05$ در نظر گرفته شد.

نتایج

مقدار سرمی استروژن و پروژسترون

نتایج حاصل از سنجش استروژن نشان داد که سطح استروژن در گروه روتون، اوارکتومی نسبت به گروه کنترل به‌طور معنی‌داری کاهش یافته است ($P < 0.001$) و این مقدار در گروه اوارکتومی به پایین‌ترین میزان، کاهش یافته است. همچنین مقدار استروژن در گروه رسوراترول، با گروه کنترل یکسان بود و تفاوت معنی‌داری بین گروه روتون + رسوراترول و گروه رسوراترول مشاهده نشد. کمترین میزان استروژن در گروه اوارکتومی + روتون (۷/۷۶ نانوگرم در میلی‌لیتر) ثبت شد. در گروه اوارکتومی + رسوراترول مقدار استروژن نسبت به گروه اوارکتومی افزایش یافت ولی این مقدار از نظر آماری معنی‌دار نبود. مقدار استروژن تفاوت معنی‌داری را در گروه اوارکتومی + روتون + رسوراترول در مقایسه با گروه اوارکتومی + روتون نشان نداد (نمودار شماره ۱).

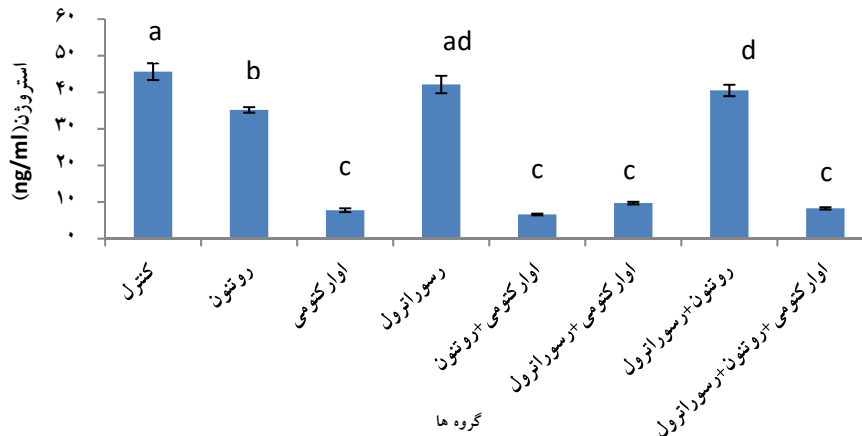
دستورالعمل ذکرشده در کیت سنجش MDA که از شرکت طب‌پژوهان رازی خریداری شده بود، انجام شد. در این روش MDA موجود در نمونه‌ها با اسید تیوباریتوریک (TBA) واکنش نشان می‌دهد و منجر به تولید ترکیب MDA-TBA می‌شود که به‌سادگی با روش رنگ‌سنجی (۵۳۰-۵۴۰ نانومتر) اندازه‌گیری می‌گردد. اندازه‌گیری مقدار MDA به‌روش زیر انجام شد: ابتدا ۱۰۰ میکرولیتر نمونه استاندارد به میکروتیوب‌ها اضافه شد. سپس ۱۰۰ میکرولیتر معرف Detergent به همه میکروتیوب‌ها اضافه و به‌خوبی مخلوط گردید و به‌مدت ۵ دقیقه در دمای اتاق انکوبه شد. ۲۰۰ میکرولیتر از معرف رنگ به همه میکروتیوب‌ها اضافه و به مدت ۱ ساعت در آب جوش قرار داده شد و بعد از یک ساعت میکروتیوب‌ها به مدت ۱۰ دقیقه روی آب یخ قرار گرفتند و سپس به مدت ۱۰ دقیقه در ۱۰۰۰۰ دور در دقیقه در دمای ۴ درجه سانتی‌گراد سانتریفیوژ شدند. درنهایت، ۲۰۰ میکرولیتر سوپرناتانت هر میکروتیوب به چاهک مرتبط منتقل شد و میزان جذب در طول موج ۵۳۰-۵۴۰ نانومتر خوانده شد.

گلوکاتیون پراکسیداز

بررسی میزان فعالیت آنزیم گلوکاتیون پراکسیداز در بافت هیپوکمپ براساس دستورالعمل ذکرشده در کیت سنجش گلوکاتیون پراکسیداز که از شرکت طب‌پژوهان رازی خریداری شده بود، انجام شد. این کیت فعالیت GPx را از طریق واکنش GPx موجود در نمونه با کومن هیدروپراکسید (درحالی‌که GSH را به GSSG اکسید می‌کند) اندازه‌گیری می‌کند. اندازه‌گیری فعالیت GPx به روش زیر انجام شد: ابتدا ۵۰ میکرولیتر بافر 1 X Assay به چاهک Reagent Control اضافه و بعد از آن ۵۰ میکرولیتر از بافر b Assay و ۵۰ میکرولیتر از نمونه‌ها به چاهک‌های نمونه اضافه شدند. سپس ۴۰ میکرولیتر مخلوط واکنش (۱۰۰ میکرولیتر گلوکاتیون ردوکتاز + ۹۰۰ میکرولیتر از GSH+NADPH) به چاهک نمونه‌ها و Reagent Control اضافه شد و به‌مدت ۱۵ دقیقه در دمای اتاق انکوبه گردیدند. درنهایت، ۱۰ میکرولیتر از معرف Cumene Hydroperoxide به همه چاهک‌ها اضافه و بلافاصله جذب در طول موج ۳۴۰ نانومتر خوانده شد.

سطح گلوکاتیون

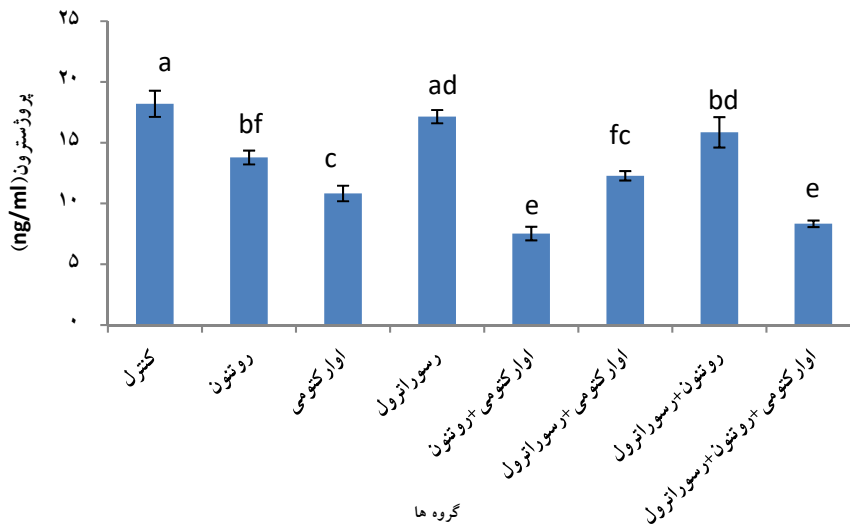
سنجش مقدار گلوکاتیون بافت هیپوکمپ براساس دستورالعمل ذکرشده در کیت سنجش گلوکاتیون که از شرکت کیازیس خریداری شده بود، انجام شد. در این کیت محلول Ellman که به DNTB نیز معروف است در واکنش با گروه‌های سولفیدریل (SH) که به حالت احیا و آزاد وجود دارند، واکنش داده و منجر به تولید کمپلکس DNTB و سولفیدریل احیا به رنگ زرد



نمودار شماره ۱- مقایسه میانگین مقدار استروژن سرمی گروه‌های آزمایشی: وجود حروف مشترک در هر گروه بیانگر عدم وجود تفاوت معنی‌دار بین میانگین‌ها است ($P < 0.05$). مقادیر شامل $\bar{X} \pm SD$ است.

مقدار پروژسترون در گروه رسوراترول مشابه با گروه کنترل بود. همچنین مقدار پروژسترون گروه روتنون + رسوراترول تفاوت معنی‌داری با گروه رسوراترول نداشت. پروژسترون در گروه اوارکتومی + روتنون + رسوراترول در مقایسه با گروه اوارکتومی + روتنون افزایش معنی‌داری را نشان نداد.

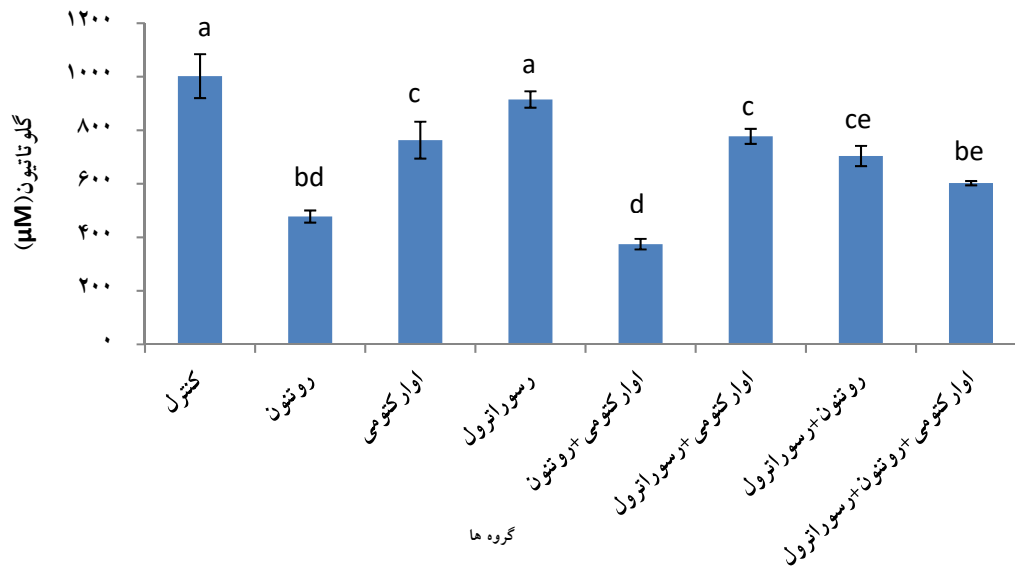
با توجه به نتایج ارائه‌شده در نمودار شماره ۲، مقدار پروژسترون در گروه روتنون نسبت به گروه کنترل به‌طور معنی‌داری کاهش یافت ($P < 0.001$). با حذف تخمدان‌ها، پروژسترون سرم با کمترین مقدار یعنی ۱۰/۸ نانوگرم در میلی‌لیتر در گروه اوارکتومی و ۷/۵ نانوگرم در میلی‌لیتر در گروه اوارکتومی + روتنون ثبت شد.



نمودار شماره ۲- مقایسه میانگین سطح پروژسترون سرم گروه‌های آزمایشی: وجود حروف مشترک در هر گروه بیانگر عدم وجود تفاوت معنی‌دار بین میانگین‌ها است ($P < 0.05$). مقادیر شامل $\bar{X} \pm SD$ است.

رسوراترول منجر به افزایش معنی‌داری در مقدار GSH در گروه روتنون + رسوراترول نسبت به گروه روتنون شد ($P < 0.001$). در گروه اوارکتومی + رسوراترول، مقدار GSH نسبت به گروه اوارکتومی افزایش معنی‌دار نشان نداد. GSH در گروه اوارکتومی + روتنون + رسوراترول، به‌طور قابل توجهی نسبت به گروه اوارکتومی + روتنون افزایش یافت ($P < 0.022$) (نمودار شماره ۳).

مقدار گلوتاتیون
نتایج حاصل از سنجش گلوتاتیون نشان داد که مقدار گلوتاتیون در بافت هیپوکامپ در گروه روتنون و اوارکتومی نسبت به گروه کنترل کاهش معنی‌داری داشت ($P < 0.001$). مقدار GSH در گروه اوارکتومی + روتنون در مقایسه با گروه کنترل و گروه اوارکتومی به‌طور معنی‌داری کاهش یافت ($P < 0.001$).

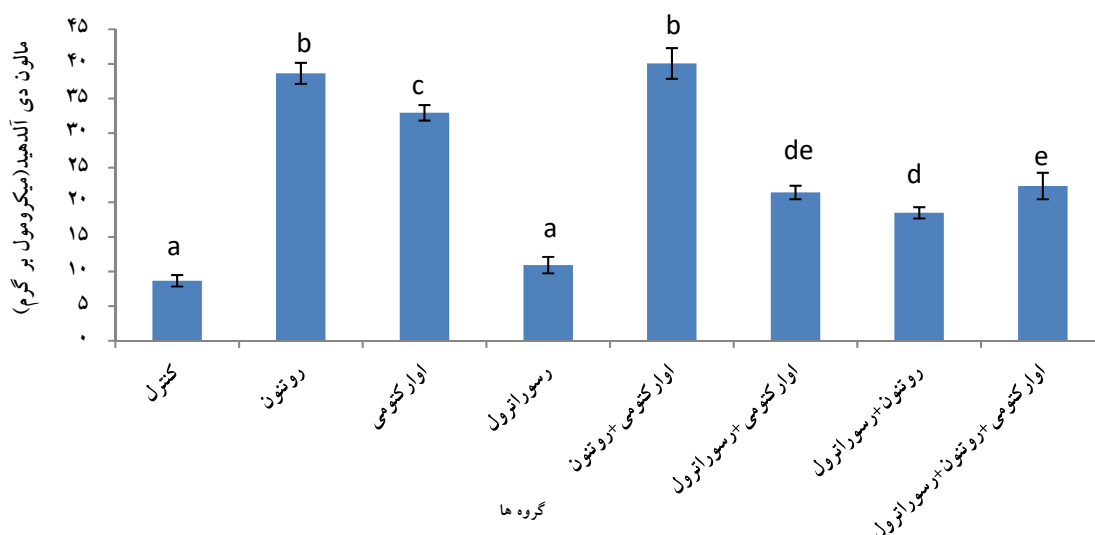


نمودار شماره ۳- مقایسه میانگین مقدار GSH گروه‌های آزمایشی: وجود حروف مشترک در هر گروه بیانگر عدم وجود تفاوت معنی‌دار بین میانگین‌ها است ($P < 0.05$). مقادیر شامل $\bar{X} \pm SD$ است.

نسبت به همه گروه‌ها به جز گروه روتنون افزایش یافت. سطح MDA در گروه اوارکتومی + رسوراترول نسبت به گروه اوارکتومی کاهش معنی‌داری داشت ($P < 0.001$). رسوراترول به‌طور قابل‌توجهی مقدار MDA را در گروه روتنون + رسوراترول و گروه اوارکتومی + رسوراترول ($P < 0.001$) در مقایسه با گروه روتنون و اوارکتومی کاهش داد (نمودار شماره ۴).

مقدار مالون‌دی‌آلدهید

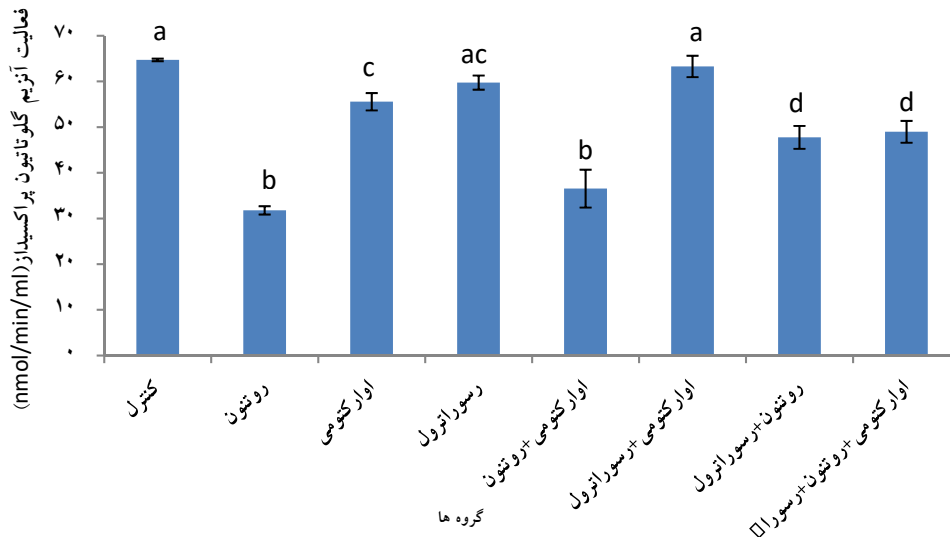
نتایج حاصل از سنجش مالون‌دی‌آلدهید نشان داد که تزریق روتنون به‌طور معنی‌داری سطح MDA را نسبت به گروه کنترل افزایش داد ($P < 0.001$). سطح MDA در گروه اوارکتومی نسبت به گروه کنترل به‌طور معنی‌داری افزایش یافت ($P < 0.001$). در گروه اوارکتومی + روتنون، سطح MDA به‌طور قابل‌توجهی



نمودار شماره ۴- مقایسه میانگین مقدار MDA گروه‌های آزمایشی: وجود حروف مشترک در هر گروه بیانگر عدم وجود تفاوت معنی‌دار بین میانگین‌ها است ($P < 0.05$). مقادیر شامل $\bar{X} \pm SD$ است.

فعالیت این آنزیم را در سطح گروه کنترل نشان داد. فعالیت GPx در گروه اوارکتومی + روتنون به جز گروه روتنون تفاوت معنی داری با سایر گروه‌ها داشت. رسوراترول به طور معنی داری منجر به معکوس شدن اثر کاهشی روتنون بر فعالیت GPx در گروه روتنون + رسوراترول نسبت به گروه روتنون شد ($P < 0/001$) (نمودار شماره ۵).

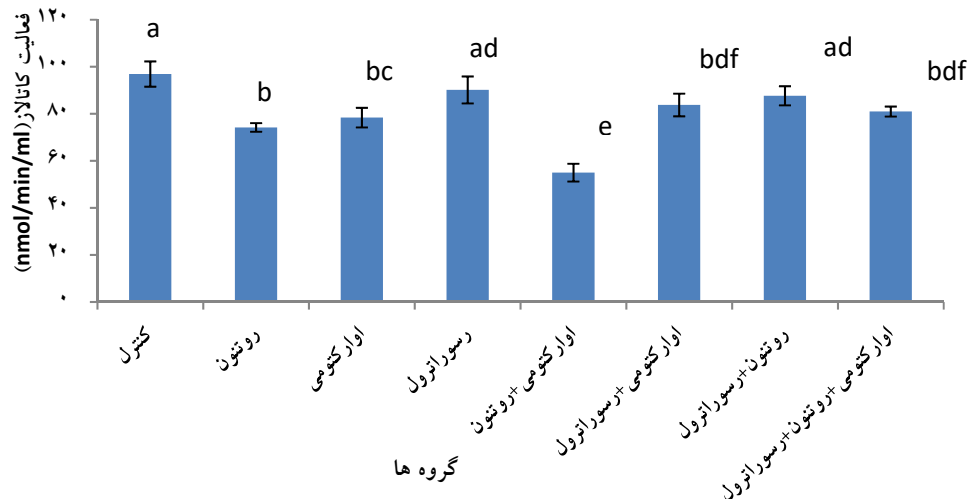
فعالیت آنزیم گوتاتیون پراکسیداز نتایج حاصل از سنجش فعالیت آنزیم گوتاتیون پراکسیداز نشان داد که روتنون به طور معنی داری فعالیت GPx را نسبت به گروه کنترل کاهش داد ($P < 0/001$). فعالیت این آنزیم پس از برداشتن تخمدان‌ها به طور معنی داری نسبت به گروه کنترل تغییر کرد ($P < 0/001$). درمان با رسوراترول در گروه رسوراترول،



نمودار شماره ۵- مقایسه میانگین فعالیت GPx گروه‌های آزمایشی: وجود حروف مشترک در هر گروه بیانگر عدم وجود تفاوت معنی دار بین میانگین‌ها است ($P < 0/05$). مقادیر شامل $\bar{X} \pm SD$ است.

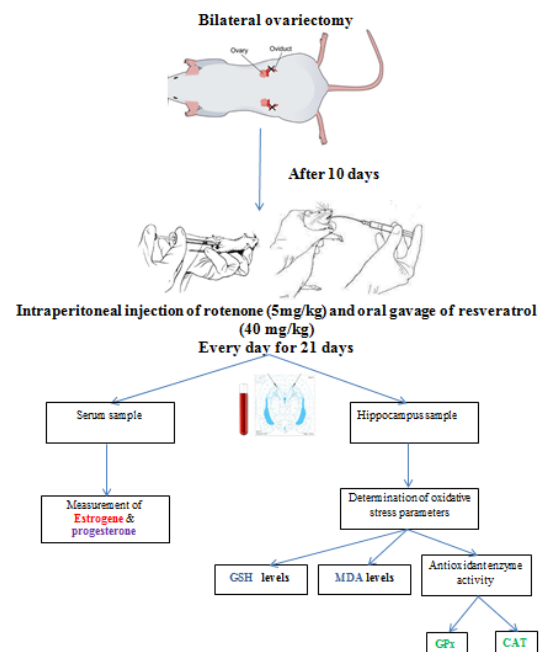
نداد؛ درحالی‌که افزایش قابل توجهی از فعالیت CAT زمانی مشاهده شد که گروه روتنون + رسوراترول و اوارکتومی + روتنون + رسوراترول به ترتیب در مقایسه با گروه روتنون و گروه اوارکتومی + روتنون، تحت درمان با رسوراترول قرار گرفتند ($P < 0/001$). افزایش معنی داری در فعالیت این آنزیم در گروه روتنون + رسوراترول در مقایسه با گروه اوارکتومی + روتنون + رسوراترول مشاهده نشد (نمودار شماره ۶).

فعالیت آنزیم کاتالاز نتایج حاصل از سنجش فعالیت آنزیم کاتالاز نشان داد که فعالیت آنزیم کاتالاز در هیپوکامپ در گروه‌های روتنون ($P < 0/001$)، اوارکتومی ($P < 0/003$) و اوارکتومی + روتنون ($P < 0/001$) به طور معنی داری نسبت به گروه کنترل کاهش یافت. درمان با رسوراترول در گروه رسوراترول، فعالیت این آنزیم را در سطح گروه کنترل نشان داد. فعالیت این آنزیم در گروه اوارکتومی + رسوراترول نسبت به گروه اوارکتومی افزایش معنی داری را نشان



نمودار شماره ۶- مقایسه میانگین فعالیت CAT گروه‌های آزمایشی: وجود حروف مشترک در هر گروه بیانگر عدم وجود تفاوت معنی‌دار بین میانگین‌ها است ($P < 0.05$). مقادیر شامل $\bar{X} \pm SD$ است.

نوروتوکسیک روتنون توسط بسیاری از محققان، مورد مطالعه قرار گرفته است [۳۰-۳۲]. مطالعات قبلی نشان دادند که روتنون فعالیت خود را از طریق اختلال عملکرد میتوکندری و استرس اکسیداتیو اعمال می‌کند [۲، ۳۰، ۳۲]. Kavuri و همکاران گزارش دادند که روتنون باعث افزایش سطوح بیومارکرهای استرس اکسیداتیو مانند MDA و پروتئین کربونیل و کاهش پارامترهای آنتی‌اکسیدانی از جمله GPX، کاتالاز و GSH در مدل پارکینسون در موش صحرایی شد [۳]. همچنین Unal و همکاران نشان دادند که قرارگرفتن در معرض روتنون با کاهش فعالیت گلوتاتیون-S-ترانسفراز و CAT و افزایش پراکسیداسیون لیپیدی، تعادل اکسیدانی / آنتی‌اکسیدانی مغز گورخرماهی را مختل می‌کند [۳۳]. از طرف دیگر مغز به دلیل مصرف بالای اکسیژن، محتوای بالای اسیدهای چرب غیراشباع قابل‌اکسید شدن و ظرفیت دفاعی آنتی‌اکسیدانی پایین در برابر استرس اکسیداتیو، آسیب‌پذیر است [۳۴]. مطالعات حیوانی نیز نقش استرس اکسیداتیو ناشی از روتنون را در تغییرات نوروپاتولوژی نشان دادند [۳۵-۳۷]. استروژن با فعال‌کردن چندین مسیر مولکولی و سلولی محافظت‌کننده عصبی، نقش مهمی در عملکردهای عصبی، از جمله یادگیری و حافظه دارد و حذف آن به شدت با شرایط تخریب عصبی مرتبط است [۳۸]. از سوی دیگر، دوره یائسگی خطر ابتلا به بیماری‌های عصبی را در زنان افزایش می‌دهد [۳۹]. مطالعه Luine استروژن را به‌عنوان عامل تنظیم‌کننده در حافظه، به‌واسطه افزایش تراکم خارهای دندردی در هیپوکامپ معرفی کرد [۴۰]. علاوه بر این، استروژن



شکل شماره ۱- چکیده گرافیکی

بحث

مطالعه حاضر با هدف بررسی اثرات نوروتوکسیک مواجهه با روتنون به‌عنوان آفت‌کش و حشره‌کش در حضور و یا عدم حضور استروژن همراه با نقش محافظتی رسوراترول بر عوامل استرس اکسیداتیو در هیپوکامپ موش صحرایی انجام شد. داده‌ها نشان داد که روتنون به‌طور قابل‌توجهی منجر به افزایش پراکسیداسیون لیپیدی همراه با کاهش فعالیت گلوتاتیون پراکسیداز و کاتالاز و مقدار GSH در هیپوکامپ شد. اثرات

گروه‌های روتنون + رسوراترول، اوارکتومی + رسوراترول و اوارکتومی + روتنون + رسوراترول در هیپوکامپ کاهش داد. مطالعه‌ای نشان داد که اختلال شناختی و ازدست‌دادن نورون در آسیب ایسکمی پرفیوژن مجدد در نورون‌های هیپوکامپ موش صحرایی از طریق تعدیل مسیر سیگنالینگ JAK/ERK/STAT شده توسط رسوراترول محافظت شد [۴۶]. علاوه بر این، مطالعه اخیر در مورد اثر محافظت عصبی رسوراترول گزارش داده است که اثر ضد استرس اکسیداتیو رسوراترول از طریق افزایش بیان Nrf2 منجر به کاهش سطوح افزایش یافته ROS در آسیب مغزی ناشی از تشعشعات گشت [۴۷]. مطالعه دیگر نشان داد که رسوراترول باعث کاهش مقدار مالون‌دی‌آلدئید، اینترلوکین ۶ و افزایش فعالیت سوپراکسید دیسموتاز و گلوتاتیون در مدل موش دیابتی همراه با بیماری آلزایمر شد [۴۸].

نتیجه‌گیری

به‌طور کلی، باتوجه به نتایج این تحقیق رسوراترول و استروژن به‌تنهایی و با استفاده همزمان، استرس اکسیداتیو ناشی از روتنون را در هیپوکامپ موش‌ها کاهش دادند. مطالعه حاضر نشان می‌دهد که بهبود پارامترهای آنتی‌اکسیدانی مانند GPX، کاتالاز و GSH و کاهش بیومارکر استرس اکسیداتیوی (MDA)، یکی از مکانیسم احتمالی است که رسوراترول و استروژن توسط آن به‌طور مستقیم منجر به بهبود استرس اکسیداتیو شدند. اگرچه مطالعات بیشتر برای مصرف همزمان رسوراترول و استروژن برای کاهش میزان استرس اکسیداتیو مورد نیاز است، اما نتایج حاصل از این مطالعه پیشنهاد می‌کند که به‌دلیل هم‌پوشانی در عملکردهای مفید رسوراترول و استروژن، رسوراترول می‌تواند برای افزایش اثربخشی استروژن و کاهش خطر ابتلا به بیماری‌های تخریب عصبی به‌ویژه در کشاورزان در معرض خطر، در دوره یائسگی استفاده شود.

تشکر و قدردانی

از حمایت‌های مادی و معنوی گروه زیست‌شناسی دانشگاه شهید چمران اهواز و دانشگاه علوم پزشکی بابل در مراحل اجرای این پژوهش، تشکر و قدردانی می‌گردد.

آنزیم‌های آنتی‌اکسیدانی میتوکندری را فعال و تولید رادیکال‌های آزاد را مهار می‌کند [۱۵]. براساس مطالعه حاضر، حذف تخمدان در موش‌های صحرایی به‌طور قابل‌توجهی باعث کاهش استروژن، پروژسترون، سطح GSH و فعالیت آنزیم کاتالاز و گلوتاتیون پراکسیداز و افزایش معنی‌دار سطح MDA در هیپوکامپ شد. مطالعه‌ای نشان داد که دریافت استروژن، مغز موش را از طریق تنظیم مسیر سیگنالینگ PI3K/Akt به واسطه SRC3، در برابر آسیب استرس اکسیداتیو ناشی از خونریزی داخل مغزی بهبود بخشیده است که با نتایج به‌دست‌آمده در مطالعه حاضر مطابقت دارد [۲۹]. مطالعه دیگر نشان داد که استروژن از طریق تنظیم مسیر سیگنالینگ Nrf2/HO-1 و MAP-kinase در مغز موش، استرس اکسیداتیو و تخریب عصبی ناشی از سمیت گلوتامات را سرکوب می‌کند [۴۱]. بررسی که توسط سعید و همکاران انجام شد، نشان داد که استروژن، استرس اکسیداتیو و التهاب عصبی ناشی از آسیب به قشر مغز را از بین می‌برد [۱۸]. اگرچه در چند دهه گذشته استروژن درمانی مورد استفاده قرار می‌گیرد، اما عوارض جانبی ناشی از استفاده طولانی‌مدت آن که خطر ابتلا به برخی بیماری‌ها را افزایش می‌دهد بسیار نگران‌کننده است [۲۰]. از طرفی برهمکنش کمبود استروژن و حضور آفت‌کش‌هایی مانند روتنون می‌تواند خطر استرس اکسیداتیو و القای تخریب عصبی را افزایش دهد. بنابراین زنان در دوران یائسگی همراه با قرارگرفتن در معرض آفت‌کش‌ها یا حشره‌کش‌ها بیشتر مستعد ابتلا به بیماری‌های عصبی هستند. لذا، استرس اکسیداتیو با تجویز روتنون و کمبود استروژن، به‌طور هم‌افزایی افزایش می‌یابد. در این راستا استفاده از آنتی‌اکسیدان‌های طبیعی می‌تواند مفید باشند. رسوراترول به دلیل طیف گسترده‌ای از فعالیت‌های بیولوژیکی، در شرایط تخریب عصبی متعدد مانند آسیب مغزی ایسکمیک [۴۲]، بیماری آلزایمر [۲۷]، صرع [۴۳]، خونریزی زیر عنکبوتیه [۴۴] و آسیب مغزی تروماتیک مورد مطالعه قرار گرفته است [۲۶، ۲۳، ۴۵]. نتایج حاصل از مطالعه حاضر نشان داد که رسوراترول استرس اکسیداتیو ناشی از روتنون و حذف استروژن را کاهش می‌دهد. رسوراترول به‌طور قابل‌توجهی مقدار گلوتاتیون، فعالیت کاتالاز و GPX را در گروه‌های روتنون + رسوراترول و اوارکتومی + روتنون + رسوراترول افزایش داد. همچنین رسوراترول مقدار MDA را در

References:

- [1] Richardson JR, Fitsanakis V, Westerink RH, Kanthasamy AG. Neurotoxicity of pesticides. *Acta Neuropathol* 2019; 138(3): 343-62.
- [2] Yarmohammadi F, Wallace Hayes A, Najafi N, Karimi G. The protective effect of natural compounds against rotenone-induced neurotoxicity. *J Biochem Mol Toxicol* 2020; 34(12): e22605.
- [3] Kavuri S, Sivanesan S, Rajagopalan V. Oxidative stress and antioxidant status in rotenone induced rat models of Parkinson's disease. *Int J Res Pharmaceutical Sci* 2020; 11(1): 1.
- [4] Biney RP, Mpofana T, Kasanga EA. Free radicals in oxidative stress, aging, and neurodegenerative disorders. *In Research Anthology on Supporting Healthy Aging in a Digital Society* 2022; (pp. 225-52). IGI Global.
- [5] Fikry H, Saleh LA, Abdel Gawad S. Neuroprotective effects of curcumin on the cerebellum in a rotenone-induced Parkinson's disease Model. *CNS Neurosci Ther* 2022; 28(5):732-48.
- [6] Chiaradia E, Renzone G, Scaloni A, Caputo M, Costanzi E, Gambelunghe A, et al. Protein carbonylation in dopaminergic cells exposed to rotenone. *Toxicol Lett* 2019; 309: 20-32.
- [7] Torrens-Mas M, Pons DG, Sastre-Serra J, Oliver J, Roca P. Sexual hormones regulate the redox status and mitochondrial function in the brain. *Pathological Implications Redox Biol* 2020; 31: 101505.
- [8] Dubal DB, Wise PM. Estrogen and neuroprotection: from clinical observations to molecular mechanisms. *Dialogues Clin Neurosci* 2002; 4(2): 149-61.
- [9] Marrocco J, McEwen BS. Sex in the brain: hormones and sex differences. *Dialogues Clin Neurosci* 2016; 18(4): 373-83.
- [10] Siddiqui AN, Siddiqui N, Khan RA, Kalam A, Jabir NR, Kamal MA, et al. Neuroprotective role of steroidal sex hormones: an overview. *CNS Neurosci Ther* 2016; 22(5): 342-50.
- [11] Thadathil N, Xiao J, Hori R, Alway SE, Khan MM. Brain selective estrogen treatment protects dopaminergic neurons and preserves behavioral function in MPTP-induced mouse model of Parkinson's disease. *J Neuroimmune Pharmacol* 2021; 16: 667-78.
- [12] Frick KM, Kim J, Tuscher JJ, Fortress AM. Sex steroid hormones matter for learning and memory: estrogenic regulation of hippocampal function in male and female rodents. *Learn Mem* 2015; 22(9): 472-93.
- [13] Cheng YJ, Lin CH, Lane HY. From menopause to neurodegeneration—molecular basis and potential therapy. *Int J Mol Sci* 2021; 22(16): 8654.
- [14] Luine V. Estradiol: mediator of memories, spine density and cognitive resilience to stress in female rodents. *J Steroid Biochem Mol Biol* 2016; 160: 189-95.
- [15] Kovesdi E, Szabo-Meleg E, Abraham IM. The Role of Estradiol in Traumatic Brain Injury: Mechanism and Treatment Potential. *Int Mol Sci* 2021; 22(1): 11.
- [16] Yan W, Wu J, Song B, Luo Q, Xu Y. Retraction Note to: Treatment with a brain-selective prodrug of 17 β -estradiol improves cognitive function in Alzheimer's disease mice by regulating klf5-NF- κ B pathway. *Naunyn Schmiedebergs Arch Pharmacol* 2021; 394(9): 1989.
- [17] Song YJ, Li SR, Li XW, Chen X, Wei ZX, Liu QS, et al. The effect of estrogen replacement therapy on Alzheimer's disease and Parkinson's disease in postmenopausal women: a meta-analysis. *Front Neurosci* 2020; 14: 157.
- [18] Saeed K, Jo MH, Park JS, Alam SI, Khan I, Ahmad R, et al. 17 β -Estradiol abrogates oxidative stress and neuroinflammation after cortical stab wound injury. *Antioxidants* 2021; 10(11): 1682.
- [19] Azam S, Lange T, Huynh S, Aro AR, von Euler-Chelpin M, Vejborg I, et al. Hormone replacement therapy, mammographic density, and breast cancer risk: a cohort study. *Cancer Causes Control* 2018; 29(6): 495-505.
- [20] Cagnacci A, Venier M. The controversial history of hormone replacement therapy. *Medicina* 2019; 55(9): 602.
- [21] Kiskova T, Kubatka P, Busselberg D, Kassayova M. The plant-derived compound Resveratrol in brain cancer: A review. *Biomolecules* 2020; 10(1): 161.
- [22] Meng T, Xiao D, Muhammed A, Deng J, Chen L, He J. Anti-Inflammatory Action and Mechanisms of Resveratrol. *Molecules* 2021; 26(1): 229.

- [23] Nath J, Roy R, Sathyamoorthy YK, Paul S, Goswami S, Chakravarty H, et al. Resveratrol as a therapeutic choice for traumatic brain injury: an insight into its molecular mechanism of action. *Brain Disord* 2022; 100038.
- [24] Auti A, Alessio N, Ballini A, Dioguardi M, Cantore S, Scacco S, et al. Protective Effect of Resveratrol against Hypoxia-Induced Neural Oxidative Stress. *J Personalized Med* 2022; 12(8): 1202.
- [25] Bryl A, Falkowski M, Zorena K, Mrugacz M. The Role of Resveratrol in Eye Diseases—A Review of the Literature. *Nutrients* 2022; 14(14): 2974.
- [26] Kaur A, Tiwari R, Tiwari G, Ramachandran V. Resveratrol: A vital therapeutic agent with multiple health benefits. *Drug Res* 2022; 72(01): 5-17.
- [27] Wang H, Dong X, Liu Z, Zhu S, Liu H, Fan W, et al. "Resveratrol suppresses rotenone-induced neurotoxicity through activation of SIRT1/Akt1 signaling pathway." *Anat Rec* 2018; 301(6): 1115-25.
- [28] Zhang Y, Li Y, Wang Y, Wang G, Mao L, Zhang D, et al. "Effects of resveratrol on learning and memory in rats with vascular dementia." *Mol Med Rep* 2019; 20(5): 4587-93.
- [29] Xia N, Daiber A, Habermeier A, Closs EI, Thum T, Spanier G, et al. Resveratrol reverses endothelial nitric-oxide synthase uncoupling in apolipoprotein E knockout mice. *J Pharmacol Exp Ther* 2010; 335(1): 149-54.
- [30] Adedara AO, Otenaike TA, Olabiyi, AA, Adedara IA, Abolaji AO. Neurotoxic and behavioral deficit in *Drosophila melanogaster* co-exposed to rotenone and iron. *Metabolic Brain Disease* 2023; 38: 349-60.
- [31] Lawana V, Cannon JR. Rotenone neurotoxicity: Relevance to Parkinson's disease. *Advances in Neurotoxicology*. Elsevier; 2020. p. 209-54.
- [32] Pamies D, Block K, Lau P, Gribaldo L, Pardo CA, Barreras P, et al. Rotenone exerts developmental neurotoxicity in a human brain spheroid model. *Toxicol Appl Pharmacol* 2018; 354: 101-14.
- [33] Unal i, UstUndag UV, Ateş PS, Egilmezer G, Alturfan AA, Yigitbaşı T, et al. Rotenone impairs oxidant/antioxidant balance both in brain and intestines in zebrafish. *Int J Neurosci* 2019; 129(4): 363-8.
- [34] Pizzino G, Irrera N, Cucinotta M, Pallio G, Mannino F, Arcoraci V, et al. Oxidative stress: harms and benefits for human health. *Oxidative Med Cellular Longevity* 2017; 2017.
- [35] Zhang D, Li S, Hou L, Jing L, Ruan Z, Peng B, et al. Microglial activation contributes to cognitive impairments in rotenone-induced mouse Parkinson's disease model. *J Neuroinflammation* 2021; 18(1): 1-16.
- [36] Nie S, Ma K, Sun M, Lee M, Tan Y, Chen G, et al. 7, 8-Dihydroxyflavone protects nigrostriatal dopaminergic neurons from rotenone-induced neurotoxicity in rodents. *Parkinson's Dis* 2019; 2019.
- [37] Lv DJ, Li LX, Chen J, Wei SZ, Wang F, Hu H, et al. Sleep deprivation caused a memory defects and emotional changes in a rotenone-based zebrafish model of Parkinson's disease. *Behav Brain Res* 2019; 372: 112031.
- [38] Frick KM, Kim J, Tuscher JJ, Fortress AM. Sex steroid hormones matter for learning and memory: estrogenic regulation of hippocampal function in male and female rodents. *Learning Memory* 2015; 22(9): 472-93.
- [39] Cheng YJ, Lin CH, Lane HY. From menopause to neurodegeneration—molecular basis and potential therapy. *Int J Molecular Sci* 2021; 22(16): 8654.
- [40] Luine V, Frankfurt M. Estrogenic regulation of memory: the first 50 years. *Hormones Behav* 2020; 121: 104711.
- [41] Khan I, Saeed K, Jo MG, Kim MO. 17- β estradiol rescued immature rat brain against glutamate-induced oxidative stress and neurodegeneration via regulating Nrf2/HO-1 and MAP-kinase signaling pathway. *Antioxidants* 2021; 10(6): 892.
- [42] Machado ND, Armas GV, Fernández MA, Grijalvo S, Diaz Diaz D. Neuroprotective Effects of Resveratrol in Ischemic Brain Injury. *NeuroSci* 2021; 2(3): 305-19.
- [43] Zamora-Bello I, Rivadeneyra-Dominguez E, Rodríguez-Landa JF. Anticonvulsant Effect of Turmeric and Resveratrol in Lithium/Pilocarpine-Induced Status Epilepticus in Wistar Rats. *Molecules* 2022; 27(12): 3835.

- [44] Tan J, Song R, Luo S, Fu W, Ma Y, Zheng L, et al. Efficacy of Resveratrol in Experimental Subarachnoid Hemorrhage Animal Models: A Stratified Meta-Analysis. *Frontiers Pharmacol* 2022; 13.
- [45] Feng Y, Ju Y, Yan Z, Ji M, Li J, Wu Q, et al. Resveratrol attenuates autophagy and inflammation after traumatic brain injury by activation of PI3K/Akt/mTOR pathway in rats. *Folia Neuropathologica* 2022; 60(2): 153-64.
- [46] Chang C, Zhao Y, Song G, She K. Resveratrol protects hippocampal neurons against cerebral ischemia-reperfusion injury via modulating JAK/ERK/STAT signaling pathway in rats. *J Neuroimmunol* 2018; 315: 9-14.
- [47] Zhang Y, Zhu Xb, Zhao Jc, Gao Xf, Zhang Xn, Hou K. Neuroprotective effect of resveratrol against radiation after surgically induced brain injury by reducing oxidative stress, inflammation, and apoptosis through NRF2/HO-1/NF- κ B signaling pathway. *J Biochem Mol Toxicol* 2020; 34(12): e22600.
- [48] Ma X, Sun Z, Han X, Li S, Jiang X, Chen S, et al. Neuroprotective effect of resveratrol via activation of Sirt1 signaling in a rat model of combined diabetes and Alzheimer's disease. *Front Neurosci* 2020; 13: 1400.